

تولیدات دامی

دوره ۱۵ ■ شماره ۱ ■ بهار و تابستان ۱۳۹۲

صفحه‌های ۶۵-۷۷

مقایسه روش‌های گوناگون ارزیابی ژنومیک در صفاتی با معماری ژنتیکی متفاوت

رستم عبدالللهی آرپناهی^۱، عباس پاکدل^{۲*}، اردشیر نجاتی جوارمی^۳، محمد مرادی شهر بابک^۴

۱. دانشجوی دکتری گروه علوم دامی، دانشکده علوم زراعی و دامی، پردیس کشاورزی و منابع طبیعی، دانشگاه تهران، کرج-ایران.

۲. دانشیار گروه علوم دامی، دانشکده علوم زراعی و دامی، پردیس کشاورزی و منابع طبیعی، دانشگاه تهران، کرج-ایران

۳. دانشیار گروه علوم دامی، دانشکده علوم زراعی و دامی، پردیس کشاورزی و منابع طبیعی، دانشگاه تهران، کرج-ایران

۴. استاد گروه علوم دامی، دانشکده علوم زراعی و دامی، پردیس کشاورزی و منابع طبیعی، دانشگاه تهران، کرج-ایران

تاریخ پذیرش مقاله: ۱۳۹۲/۰۶/۲۷

تاریخ وصول مقاله: ۱۳۹۱/۰۴/۰۶

چکیده

هدف از انجام تحقیق حاضر، مقایسه روش‌های گوناگون آماری در پیش‌بینی ارزش‌های اصلاحی ژنومیک برای صفاتی با معماری ژنتیکی متفاوت از نظر توزیع تأثیرات ژنی و نیز تعداد متفاوت جایگاه‌های صفت کمی (QTLs) با استفاده از شبیه‌سازی کامپیوتروی است. بدین منظور، ژنومی حاوی ۵۰۰ نشانگر تکنوکلئوتیدی دوآللی (SNP) روی کروموزومی به طول ۱۰۰ سانتی‌مورگان شبیه‌سازی، و توزیع‌های متفاوت تأثیرات ژنی (یکنواخت، نرمال، و گاما) و نیز سه تعداد QTL (۵۰، ۱۰۰ و ۲۰۰) به صورت فرضیه‌های شبیه‌سازی صفت روی آن درنظر گرفته شد. بدین ترتیب نه صفت با معماری ژنتیکی متفاوت ایجاد شد. به‌منظور پیش‌بینی ارزش‌های اصلاحی افراد موجود در جمعیت‌های مرجع و تأیید، از شش روش بهترین پیش‌بینی نالریب خطی ژنومیک^۱ (GBLUP)، رگرسیون ریدج^۲ (RRBLUP)، بیز A (BayesA)، بیز B (BayesB)، بیز Cπ (BayesCπ)، و بیز L (BayesL) استفاده گردید. با افزایش فاصله بین نسل مرجع و نسل تأیید ناشی از برهم خوردن فاز لینکاژ، صحت ارزش‌های اصلاحی ژنومیک در تمام روش‌ها کاهش معنی‌داری نشان داد ($P < 0.05$). همچنین زمانی که توزیع تأثیر ژنی گاما بود روش‌های بیزی در مقایسه با روش GBLUP و RRBLUP بترتیب آشکاری نشان دادند. هنگامی که توزیع تأثیرات ژنی نرمال بود، بیشترین صحت ارزش‌های اصلاحی به دست آمد. با افزایش تعداد QTL‌ها به‌سمت ۲۰۰، صحت ارزش‌های اصلاحی ژنومیک کاهش یافت. نتایج این تحقیق نشان داد که درمجموع روش‌های بیزی و GBLUP از نظر صحت ارزش‌های اصلاحی پیش‌بینی شده در مقایسه با روش RRBLUP عملکرد بهتری دارند. نتایج تحقیق حاضر نشان می‌دهد هنگامی که معماری صفات بررسی شده از مدل تعداد زیاد جایگاه ژنی پیروی نکند، عموماً روش‌های بیزی بر روش‌های GBLUP و RRBLUP ارجحیت دارند.

کلیدواژه‌ها: ارزش اصلاحی، روش‌های بیزی، ژنوم، معماری ژنتیک.

1. Genomic-Best Linear Unbiased Prediction
2. Ridge Regression

Email: abpakdel@ut.ac.ir

* نویسنده مسئول

مناسبی در این خصوص معرفی نشده است و چالش‌های اساسی مانند افزایش تعداد پارامترهای برآورده شده (تأثیر نشانگرهای متراکم، p) در مقایسه با تعداد مشاهدات (n) در این حوزه از دانش وجود دارد. برای مثال، با یک تراشه ۶۰۰۰ نشانگری و تعداد ۲۰۰۰ رکورد فتوتیپی در جمعیت مرجع، بهفرض وجود فقط تأثیر افزایشی، تعداد تأثیرهای نشانگری که بایستی برآورده شوند ۳۰ برابر تعداد مشاهدات است. از این‌رو در حل معادلات چندمتوجهولی به‌علت زیادشدن تعداد مجھولات و محدودبودن تعداد معادلات، مشکل معکوس‌کردن ماتریس‌های ضرایب در روش‌های آماری مانند روش حداقل مربعات معمولی^۶ پیش می‌آید، به‌طوری‌که معکوس‌کردن مستقیم^۷ این ماتریس‌ها امکان‌پذیر نیستند. به‌منظور فائق‌آمدن براین مشکل، استفاده از روش‌های جریمه‌ای^۸ مانند روش بهترین پیش‌بینی ناریب خطی ژنومیک، GBLUP (۱۷ و ۲۴)، ریدج رگرسیون، RRBLUP (۱۴)، BayesA (۱۵)، و روش‌های جریمه‌ای همراه با انتخاب متغیر^۹ مانند BayesB^{۱۰}، BayesC π (۱۲)، BayesL (بیز LASSO) (۱۸)، و روش‌های ناپارامتری (۷) و نیمه پارامتری (۱۰) در این خصوص پیشنهاد شده است. پژوهشگران با مرور مطالعات شبیه‌سازی انجام‌شده در زمینه انتخاب ژنومیک گزارش کردند برتری روش بیز B بر RRBLUP وقتی نسبت تعداد QTL به تعداد افراد موجود در جمعیت مرجع کمتر از یک باشد، بیشتر خواهد شد اما با افزایش این شاخص به بیشتر از یک، روش RRBLUP ارجحیت پیدا می‌کند (۲۵). محققان با مرور نتایج مطالعات انتخاب ژنومیک انجام‌شده با داده‌های واقعی، نشان دادند برای

مقدمه

باتوجه به‌اینکه دسترسی به اطلاعات واقعی ژنومیک در کشور محدود است، شبیه‌سازی ابزار مناسبی است تا محققان همپای دانشمندان ژنتیک جهان حرکت نمایند. در زمینه پیشرفت‌های ژنتیک با پیشرفت فناوری‌های توالی‌یابی DNA و در دسترس بودن نشانگرهای متراکم گستردۀ در سرتاسر ژنوم، گزارش‌های زیادی از جایگزین‌شدن انتخاب به‌کمک کل ژنوم^۱ به‌جای انتخاب کلاسیک^۲ و انتخاب به‌کمک نشانگرها^۳ ارائه شده است (۱ و ۵). گرچه انتخاب به‌کمک کل ژنوم در حال پیشرفت است، اما پیش‌بینی شده است که این روش ارزیابی، روشی مرجع در ژنتیک گیاهی، حیوانی، و پزشکی شود. روش انتخاب ژنومیک در حدود ۹۲ درصد در هزینه‌های اصلاح نژادی صرفه‌جویی کرده است و فاصله نسل را نیز به‌طور چشم‌گیری در صنایعی نظیر صنعت پرورش گاو شیری می‌کاهد و بدین ترتیب به پیشرفت ژنتیکی به میزان دو برابر می‌انجامد (۲۰).

از عوامل مؤثر بر صحت پیش‌بینی ارزش‌های اصلاحی ژنومیک می‌توان به وراثت‌پذیری صفت، تعداد افراد و نسل‌های جمعیت مرجع^۴ و تأیید^۵، نوع و تراکم نشانگرها، معماری ژنتیکی صفت کمی (نظیر توزیع تأثیرات ژنی، توزیع فراوانی آللی، و تعداد QTL‌ها)، و روش استفاده شده در پیش‌بینی ارزش‌های اصلاحی ژنومیک اشاره کرد (۸). ارزیابی‌های ژنتیکی به‌کمک کل ژنوم، با ترکیب روش‌های آماری و داده‌های ژنومیک ارزش‌های ژنتیکی صفات کمی را پیش‌بینی می‌کند. هنوز هیچ روش آماری

-
6. Ordinary Least Square
 7. Direct Inverse
 8. Penalized or Shrinkage Methods
 9. Variable or Subset Selection

1. Genome Assisted Selection or Genome-enabled Prediction
2. Traditional Selection
3. Marker Assisted Selection
4. Training set
5. Validation set

تولیدات دائمی

عدم تعادل پیوستگی بین نشانگر و QTL، بین افراد نسل پایه، ۵۰ نسل آمیزش تصادفی انجام شد. هاپلوتیپ‌های پدری و مادری هر کدام از والدین به طور تصادفی برای ایجاد نتایج نمونه‌گیری شد. برای ایجاد نوترکیبی از تابع نوترکیبی هالدین استفاده شد. طی ۵۰ نسل بررسی شده و بافرض براینکه از هر والد دو فرزند گرفته خواهد شد، اندازه جمعیت در هر نسل ثابت و معادل با ۱۰۰ فرد باقی ماند و در این حالت رانش و نوترکیبی باعث شد که میانگین آمار عدم تعادل پیوستگی $(^2)$ در نسل ۵۰ به $0/16$ میانگین آمار عدم تعادل پیوستگی از QTLها برسرد. در نسل ۵۱ اثر جایگزینی برای هریک از QTLها برحسب سناریوی مطالعه شده از توزیع یکنواخت (حداقل صفر و حداقل یک)، توزیع نرمال استاندارد (میانگین صفر و واریانس یک)، و توزیع گاما (با پارامتر شکل $=4/0$ و پارامتر مقیاس $=60/0$) به طور تصادفی گرفته شد. تمامی واریانس ژنتیکی صفت به وسیله QTLها پوشش داده شد و ارزش اصلاحی واقعی هریک از افراد با توجه به ژنوتیپ هر فرد، از مجموع اثر QTLها محاسبه شد.

بعد از ۵۰ نسل آمیزش تصادفی، افراد در نسل ۵۱ با نمونه‌گیری تصادفی از والدین نسل قبل گسترش یافته، به تعداد ۱۰۰۰ رسید و این ساختار تا نسل ۵۴ ادامه یافت. افراد نسل ۵۱ به عنوان جمعیت مرجع (دارای اطلاعات فنوتیپی و ژنوتیپی) و افراد نسل‌های ۵۱ تا ۵۴ نیز به عنوان جمعیت تأیید (فقط دارای اطلاعات ژنوتیپی) در نظر گرفته شدند. همچنین از نرم‌افزار *hypred* برای شبیه‌سازی ساختار جمعیت‌ها استفاده شد (۲۳).

مدل‌های آماری

از شش روش آماری متفاوت که به ترتیب در ادامه توضیح داده خواهد شد برای برآورد تأثیر نشانگرها استفاده شد.

۱. روش بهترین پیش‌بینی ناریب خطی ژنومیک (GBLUP)

صفتی مانند چربی شیر که چندین زن عمدۀ مؤثر بر آن شناسایی شده است، روش‌های بیز A و بیز B بهتر از GBLUP عمل می‌کنند، اما برای صفتی مانند پروتئین شیر که اکثر واریانس صفت با زن‌های با اثر جزئی کترول می‌شود و معماری ژنتیکی آن از مدل بی‌نهایت جایگاه زنی^۱ (IFM) تبعیت می‌کند، عملکرد روش‌های بیزین و GBLUP تقریباً مشابه است (۸). بنابر مطالعات انجام شده، پیشنهاد شده است که به دلیل متفاوت بودن معماری ژنتیکی صفات کمی، انتخاب مناسب‌ترین روش ارزیابی بایستی بر مبنای معماری ژنتیکی صفت بررسی شده صورت گیرد (۸ و ۲۵). از این‌رو هدف از انجام تحقیق حاضر، مقایسه شش روش آماری GBLUP، RRBLUP، BayesA، BayesC π ، BayesB، BayesL و BayesC α در پیش‌بینی ارزش‌های اصلاحی ژنومیک برای صفاتی با معماری ژنتیکی متفاوت از نظر توزیع تأثیرات زنی و تعداد QTLها با استفاده از شبیه‌سازی کامپیوتری است.

مواد و روش‌ها

شبیه‌سازی جمعیت پایه و ایجاد عدم تعادل پیوستگی^۱ (LD)

برای انجام مطالعه حاضر، ژنومی متشكل از کروموزومی به طول ۱۰۰ سانتی‌مورگان با ۵۰۰ عدد نشانگر SNP با فواصل نشانگری یکسان از یکدیگر در طول ژنوم شبیه‌سازی شد. بر مبنای سناریوی شبیه‌سازی، ۵۰، ۵۰ و ۲۰۰ QTL به طور تصادفی روی کروموزوم پراکنده شدند. برای نشانگرها و QTL‌های دوآلی فراوانی آللی اولیه ۰/۵ منظور شد. در این مطالعه، جمعیت پایه با اندازه مؤثر ۱۰۰ فرد (۵۰ نر و ۵۰ ماده) در نظر گرفته شد. به منظور ایجاد

-
1. Infinitesimal Model
 2. Linkage Disequilibrium

تولیدات دائمی

در این رابطه، b بردار تأثیر نشانگری و سایر نمادها مشابه با رابطه ۱ است. برای برآورد تأثیر نشانگری معادلات ماتریسی به صورت رابطه ۵ هستند:

$$[X'X + \lambda D]\hat{b} = X'y \quad (5)$$

در این رابطه، λ مقدار ثابت است که در برخی منابع به آن ثابت تنظیم کننده^۱ هم می‌گویند و D نیز ماتریس قطری است که به جز عدد صفر که در عنصر قطری اول آن قرار می‌گیرد ($d_{11}=0$) تا از جریمه کردن مقدار میانگین یا عرض از مبدأ صرف نظر شود) سایر عناصر قطری آن یک هستند. هنگامی که λ برابر با صفر است جواب معادلات مذکور مساوی جواب معادلات حداقل مربعات معمولی است، اما اضافه کردن مقدار ثابت (λ) به عناصر قطری ماتریس ضرایب $[X'X + \lambda D]$ باعث می‌شود که ماتریس رتبه کامل شود و ضرایب رگرسیون به استثناء عرض از مبدأ به سمت صفر کاهش یابند. انتخاب λ هنوز هم چالش است، اما معمولاً مقدار وراثت‌پذیری صفت و تعداد پارامترهای مجهول مدل در آن تأثیر دارند. این تغییر شکل در معادلات باعث معرفی اریب اما کاهش دادن واریانس برآوردها خواهد شد. در صورت وجود مشکلاتی مانند تعداد زیاد پارامتر (p) و تعداد کم مشاهدات (n)، ($p > n$)، این روش، مقدار میانگین مربعات خطرا کاهش می‌دهد و ممکن است پیش‌بینی‌های دقیق‌تری به دست آید.

روش‌های بیزین

مدل آماری در تمام روش‌های بیزی که در ادامه به‌طور مختصر توضیح داده خواهد شد به صورت رابطه ۶ است:

$$y_i = \mu + \sum_{j=1}^m x_{ij} b_j + e_i \quad (6)$$

در رابطه ۶، y_i مقدار مشاهده آم، μ عرض از مبدأ، x_{ij}

مدل آماری استفاده شده در روش GBLUP (۲۴) به صورت رابطه ۱ است:

$$y = \mathbf{1}\mu + \mathbf{X}\mathbf{u} + \mathbf{e} \quad (1)$$

در رابطه ۱، y فنوتیپ تصحیح شده، \mathbf{u} میانگین کل، \mathbf{u} بردار دربرگیرنده ارزش‌های اصلاحی ژنومیک، \mathbf{e} بردار تأثیر تصادفی باقی‌مانده، \mathbf{X} ماتریس ضرایب ارتباط‌دهنده مشاهدات به بردارهای ارزش‌های اصلاحی، و ۱ نیز بردار واحد است. عناصر ماتریس \mathbf{X} شامل اعداد صفر، یک، و دو است که نشان‌دهنده تعداد آلل‌های خاص هریک از مکان‌های نشانگری با توجه به ژنوتیپ هر فرد است. در این مدل اثر نشانگرها به صورت تصادفی با واریانس یکسان در نظر گرفته شد. برای برآورد اثر نشانگرها معادلات مختلط هندرسون به صورت رابطه ۲ تشکیل شد:

$$\hat{\mathbf{u}} = [X'X + G^{-1}k]^{-1}[X'y] \quad (2)$$

در رابطه ۲، k برابر است با:

$$k = \left(\frac{1-h^2}{h^2} \right)$$

در این رابطه، h^2 و راثت‌پذیری صفت است. هر کدام از عناصر ماتریس G نیز با استفاده از رابطه ۳ محاسبه شد:

$$G_{jj} = \frac{1}{m} \sum_{i=1}^m \frac{(x_{ij} - 2p_i)(x_{ij} - 2p_i)}{2p_i(1-p_i)} \quad (3)$$

در این رابطه، x_{ij} تعداد کپی آلل مرجع برای آمین SNP در آمین فرد، p_i نیز فراوانی آلل مرجع، و m تعداد نشانگر است. در پایان تأثیرات هر SNP با استفاده از ارزش‌های اصلاحی ژنومیک برآورد شده محاسبه شدند.

۲. روش بهترین پیش‌بینی نالریب خطی رگرسیون (RRBLUP) مدل آماری در روش رگرسیون ریدج (۱۴) که در

برخی منابع BLUP هم نامیده شده است، به صورت رابطه ۴ است:

$$y = \mathbf{1}\mu + \mathbf{X}\mathbf{b} + \mathbf{e} \quad (4)$$

تولیدات دائمی

$$p(b_j | \theta_{b_j}, \sigma^2) = t(b_j | df_b, S_b) = \int N(b_j | 0, \sigma_{b_j}^2) x^{-2} (\sigma_{b_j}^2 | df_b, S_b) \partial \sigma_{b_j}^2 \quad (9)$$

در این رابطه، df_b و S_b به ترتیب درجهات آزادی و پارامتر مقیاس و $(\sigma_{b_j}^2 | df_b, S_b)$ توزیع کای اسکور مقیاس‌دار معکوس است.

۴. بیز B (BayesB)

در روش بیز B (۱۵) تأثیرهای نشانگری با احتمال π برابر با صفر و با احتمال $(1-\pi)$ از توزیع t به روشنی که در بیز A شرح داده شد به دست می‌آیند، به این صورت که:

$$b_j | df_b, S_b, \pi \sim IID$$

$$\begin{cases} 0 \text{ with probability } \pi \\ t(b_j | df_b, S_b) \text{ with probability } 1-\pi \end{cases} \quad (10)$$

۵. بیز Cπ (BayesCπ)

بیز C شکلی از بیز B است (۱۲) و در برخی از مقالات به عنوان بیز Cπ شناخته می‌شود، فقط به جای اینکه از توزیع پیشین t برای تأثیرات نشانگری استفاده کند از توزیع نرمال استفاده می‌شود و از این‌رو توزیع پسین هم مزدوج و نرمال است.

۶. بیز L (BayesL)

در روش بیز L، که بیز LASSO^۱ هم نامیده می‌شود (۱۸)، تابع چگالی احتمال پیشین نمایی دوگانه^۲ به تأثیرات نشانگری اختصاص داده شده است و شکل آن در رابطه ۱۱ است:

ژنوتیپ‌های نشانگری است که دارای عناصر صفر، یک، و دو است، b اثر نشانگری و e اثر باقی‌مانده است. توزیع چگالی احتمال تؤام پیشین مجھولات رابطه ۶ به صورت رابطه ۷ است:

(۷)

$$p(\mu, b, \sigma^2 | df, S, \omega) \propto \left\{ \prod_{j=1}^m p(b_j | \theta_{b_j}, \sigma^2) p(\theta_{b_j} | \omega) \right\} x^{-2} (\sigma^2 | df, S)$$

در رابطه ۷، توزیع پیشین یکنواخت برای μ ، $(\sigma^2 | df, S)$ توزیع کای اسکور مقیاس‌دار برای S واریانس باقی‌مانده با درجه آزادی df و ω پارامتر مقیاس است. $p(\theta_{b_j} | \theta_{b_j})$ توزیع پیشین لامین نشانگر را نشان می‌دهد که در آن θ_{b_j} برداری از پارامترهاست که نوع توزیع پیشین درنظرگرفته شده را برای تأثیرات نشانگری مشخص می‌کند. $p(\theta_{b_j} | \omega)$ توزیع پیشین درنظرگرفته شده برای θ_{b_j} و ω پارامتری است که این نوع توزیع را مشخص می‌کند. توزیع پسین ناشناخته‌های مدل به صورت رابطه ۸ است:

(۸)

$$p(\mu, b, \sigma^2 | y, df, S, \omega) \propto \prod_{i=1}^n N(y_i | \mu + \sum_{j=1}^m x_{ij} b_j, \sigma^2) \times \left\{ \prod_{j=1}^m p(b_j | \theta_{b_j}, \sigma^2) p(\theta_{b_j} | \omega) \right\} x^{-2} (\sigma^2 | df, S)$$

تفاوت اصلی روش‌های بیزین در انتخاب توزیع پیشین برای تأثیرات نشانگری است. در ادامه برای هر روش شکل توزیع پیشین شرح داده خواهد شد.

۳. بیز A (BayesA)

در روش بیز A (۱۵) توزیع شرطی درنظرگرفته شده برای تأثیرات نشانگری توزیع t و به صورت رابطه ۹ است:

1. Bayesian Least Absolute Shrinkage and Selection Operator (Bayesian LASSO)
2. Double-Exponential

تولیدات دائمی

صحت برآورد ارزش‌های اصلاحی ژنومیک از مربع همبستگی بین ارزش‌های اصلاحی واقعی و ارزش‌های اصلاحی ژنومیک برآورده شده به دست آمد. تغییرات صحت GEBV برای نسل مرجع و سه نسل گروه تأیید برسی شد. هر سناریوی شبیه‌سازی که در برگیرنده توزیع تأثیر QTL و تعداد QTL بود ۱۰ بار تکرار شد و میانگین تکرارها همراه با خطای استاندارد میانگین‌ها ذخیره شد.

نتایج و بحث

به علت تنوع در جواب‌های به دست آمده از تکرارهای متفاوت، نتایج به صورت نمودار جعبه‌ای در شکل‌های ۱، ۲ و ۳ ارائه شده است. نتایج حاصل از مقایسه شش روش آماری BayesL، BayesC π ، BayesB، BayesA، RRBLUP و GBLUP از نظر صحت ارزش‌های اصلاحی ژنومیک در طی چهار نسل (نسل اول افراد جمعیت مرجع و نسل دوم تا چهارم جمعیت تأیید را تشکیل می‌دهند) در شکل ۱ ارائه شده است. سه روش اول RRBLUP، GBLUP، و BayesA از جمله روش‌های جریمه‌ای هستند که با اضافه کردن مقادیری ثابت به عناصر قطری ماتریس ضرایب ژنومیک، مقدار برآورده تأثیرات نشانگری را به سمت صفر تنزیل می‌دهند. لیکن سه روش بعدی یعنی روش‌های BayesL، BayesC π ، BayesB و BayesA از جمله روش‌های جریمه‌ای توأم با انتخاب متغیر هستند، چراکه در این روش‌ها توزیع‌های پیشینی برای تأثیر نشانگرها تعریف می‌شود که به اجراء تأثیر درصدی از نشانگرها را صفر فرض می‌کنند. این در حالی است که در روش‌های فقط جریمه‌ای، تأثیر تمام نشانگرها به نسبت یکسانی به سمت صفر کاهش داده می‌شوند.

$$DE(b_j | \lambda, \sigma_e^2) = \int N(b_j | 0, \sigma_e^2 \tau_j^2)$$

$$\text{Exp}\left(\tau_j^2 | \frac{\lambda^2}{2}\right) \partial \sigma_{b_j}^2$$

در معادله فوق، λ ناشناخته فرض شده است و به آن توزیع گاما با پارامتر شکل λ و مقیاس α اختصاص داده می‌شود.

اجرای روش‌های آماری بیزی

از نرم‌افزار BGLR (۶) به منظور پیاده‌سازی روش‌های بیزی استفاده گردید. در اجرای روش‌های بیزی از الگوریتم نمونه‌گیری گیبس برای نمونه‌گیری توزیع پسین شرطی تأثیر نشانگری استفاده شد. در هر تکرار و سناریو، زنجیرهای به طول ۵۰۰۰۰ نمونه شامل ۱۰ هزار نمونه برای گرم کردن^۱ و ۴۰۰۰ نمونه بعدی برای استنباطهای توزیع پسین استفاده شد. برای اطمینان از همگرایی نمونه‌گیری‌های گیبس، از رسم پلات‌ها و خودهمبستگی بین نمونه‌ها استفاده شد.

به منظور برآورد تأثیرات نشانگری در جمعیت مرجع از فنوتیپ تصحیح شده برای اثر ثابت جنس استفاده شد و سپس از تأثیرات نشانگری برآورده شده در جمعیت مرجع برای پیش‌بینی ارزش‌های اصلاحی ژنومیک افراد جمعیت تأیید استفاده گردید. پس از حل معادلات مذکور و برآورده اثر هر یک از نشانگرها، ارزش اصلاحی ژنومیک^۲ (GEBV) افراد گروه تأیید از مجموع اثر نشانگرها و با توجه به ژنوتیپ آن‌ها به صورت رابطه ۱۲ محاسبه شد:

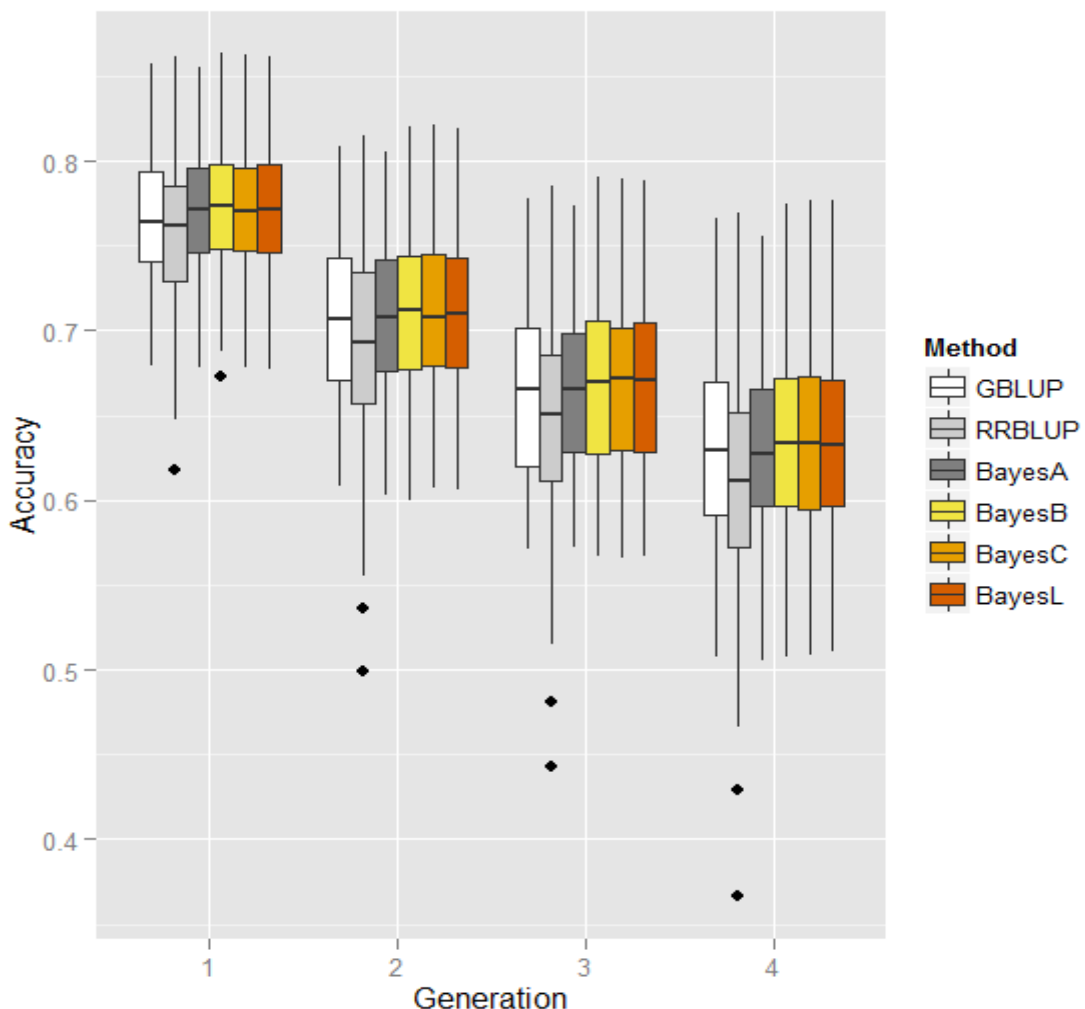
$$GEBV_i = \sum_i^m x_{ij} \hat{b}_j \quad (12)$$

1. Burn in

2. Genomic Estimated Breeding Value

تولیدات دائمی

مقایسه روش‌های گوناگون ارزیابی ژنومیک در صفاتی با معماری ژنتیکی متفاوت



شکل ۱. صحت ارزش‌های اصلاحی ژنومیک با استفاده از شش روش ارزیابی بهترین پیش‌بینی ناریب خطی ژنومیک (GBLUP)، ریدج رگرسیون (RRBLUP)، بیز A (BayesA)، بیز B (BayesB)، بیز C π (BayesC π)، و بیز L (BayesL) در طول چهار نسل. نسل اول جمعیت مرجع و نسل‌های ۲ تا ۴ جمعیت‌های تأیید یا آزمون هستند. نقاط سیاه داده‌های پرت را نشان می‌دهند.

مقیاس‌بندی نشدنی و همچنین مقدار λ یا ثابت تنظیم‌کننده در هر دو روش یکسان نبود نتایج متفاوتی حاصل شدند (۱۱). از مزایای GBLUP بر RRBLUP می‌توان به کاهش دادن ابعاد معادلات مختلف به تعداد افراد جمعیت مرجع، محاسبه صحت و خطای پیش‌بینی^۱ ارزش‌های

نتایج این تحقیق نشان داد که روش GBLUP و چهار روش بیزی (BayesA, BayesB, BayesC π , BayesL) در هر چهار نسل در مقایسه با روش RRBLUP از نظر صحت پیش‌بینی ارزش‌های اصلاحی ژنومیک بهتر عمل می‌کنند. تحقیقات نشان داد که GBLUP و RRBLUP مدل‌های مشابهی هستند، اما در این پژوهش به دلیل اینکه عناصر ماتریس طرح یا X به‌طور مشابهی در دو روش

۱. Prediction Error Variance

تولیدات دائمی

شده است. در کل روش‌ها، صحت ارزش‌های اصلاحی در حالت توزیع نرمال تأثیر ژنی بهتر از گاما و یکنواخت بود اما این برتری معنی‌دار نبود. روش RRBLUP در حالت توزیع نرمال تأثیر ژنی عملکرد مشابهی با سایر روش‌ها از خود نشان داد اما در حالت توزیع یکنواخت و گاما RRBLUP نتوانست با روش‌های بیزی و GBLUP رقابت کند. هنگامی که توزیع تأثیر ژنی گاما است، برتری روش‌های بیزی در مقایسه با روش‌های غیر بیزی به‌ویژه در مقایسه با روش GBLUP کاملاً مشهود است، اما هنگامی که توزیع تأثیر ژنی نرمال درنظر گرفته شد، عملکرد روش‌های بیزی و GBLUP و RRBLUP مشابه بود.

در بین روش‌های بیزی، روش بیز B و بیز L در حالت توزیع گاما، تأثیرات ژنی بهترین عملکرد را نشان دادند، اما تفاوت آن‌ها از نظر آماری معنی‌دار نبود ($P > 0.05$). هنگامی که توزیع تأثیر ژنی گاماست، برخی از ژن‌ها داری اثر عمده و درصد بالایی از ژن‌ها تأثیراتی نزدیک به صفر دارند. از این‌رو روش‌های جرمیه‌ای همراه انتخاب متغیر بهتر از روش‌های فقط جرمیه‌ای عمل می‌کنند. باستفاده از داده‌های واقعی صفت تولید شیر و نرخ آبستنی در گاو‌های هلشتاین فرانسوی، دلیل مشابه‌بودن نتایج حاصل از روش‌های بیزی و GBLUP در پیش‌بینی ارزش‌های اصلاحی ژنومیک، معماری ژنتیکی پلی ژنی بودن و توزیع نرمال تأثیر ژنی پیشنهاد شده است (۴). در این مطالعه نیز در حالت توزیع نرمال تأثیر ژنی، تفاوتی بین روش‌های فراوانی‌گرا (RRBLUP و GBLUP) با روش‌های بیزی مشاهده نشد. یکی از ضعف‌های روش‌های RRBLUP و GBLUP این است که برای همه نشانگرها سهم یکسانی در پیش‌بینی ارزش اصلاحی درنظر می‌گیرند. این در حالی است که در روش‌های بیزی و به استثنای روش بیز A بر حسب توزیع پیشین، وزن‌های متفاوتی به SNP‌ها اختصاص داده می‌شود.

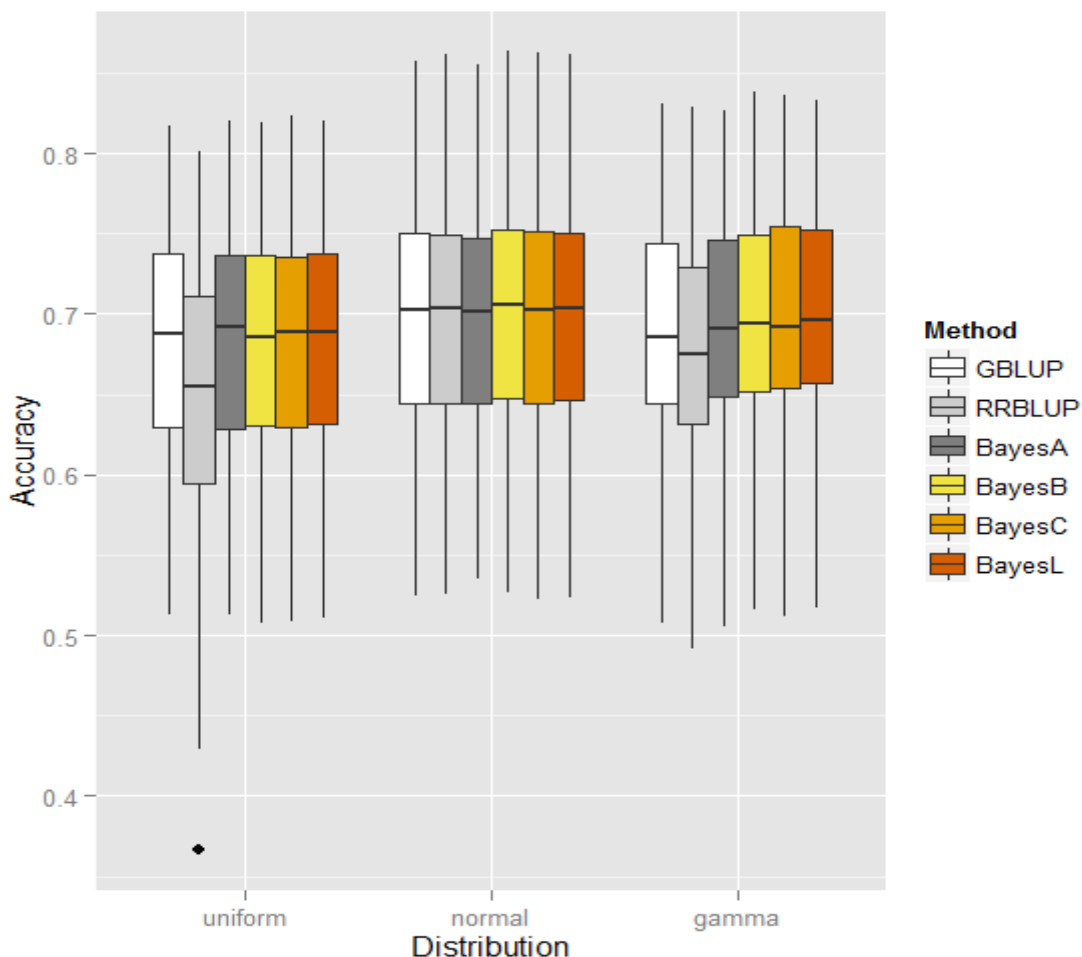
اصلاحی به‌شیوه مرسوم استفاده شده در روش‌های شجره‌ای، و ترکیب‌کردن اطلاعات افراد ژنتیکی شده و نشده به‌طور همزمان در معادلات مختلط اشاره کرد. آخرین مزیت RRBLUP بر GBLUP یک مرحله‌ای^۱ نیز نامیده می‌شود.

با افزایش فاصله نسل بین جمعیت مرجع و جمعیت تأیید صحت ارزش‌های اصلاحی ژنومیک به‌شدت کاهش می‌یابد (شکل ۱). این روند انتظار می‌رفت، چراکه با افزایش فاصله بین جمعیت مرجع و جمعیت تأیید، فاز LD بین QTL‌ها و نشانگرها به‌هم می‌خورد و تأثیرهای QTL‌ها به‌وسیله نشانگرها به‌خوبی بیان نمی‌شود، که این نتایج با یافته‌های پیشین مطابقت دارد (۲ و ۱۱). نکته دیگر این است که با افزایش فاصله بین نسل مرجع و نسل چهار، خطای استاندارد صحت پیش‌بینی ارزش‌های اصلاحی نیز، افزایش یافته است. با گذشت چند نسل پس از برآورده اشر نشانگرها، صحت برآورده ارزش‌های اصلاحی ژنومیک کاهش می‌یابد و از کارایی روش‌های برآورده تأثیرات نشانگری کاسته می‌شود و لازم است تأثیرهای نشانگرها مجددًا برآورده شود (۱۶). این نتایج حاکی از آن است که روش‌های بیزی در مقایسه با RRBLUP و GBLUP و حساسیت کمتری به تغییر فاز پیوستگی بین جمعیت مرجع و جمعیت تأیید نشان می‌دهد. دلیل این تغییر می‌تواند این باشد که اکثر روش‌های بیزی علاوه بر ویژگی جرمیه‌کردن از ویژگی انتخاب متغیر هم بهره می‌برند، در حالی که روش‌های GBLUP و RRBLUP این خصوصیت را ندارند.

مقایسه صحت پیش‌بینی ارزش‌های اصلاحی ژنومیک تحت تأثیر سه توزیع متفاوت تأثیر ژنی (یکنواخت، نرمال، و گاما) و با استفاده از شش روش آماری در شکل ۲ ارائه

1. Single Step Genomic BLUP

تولیدات دائمی



شکل ۲. صحت ارزش‌های اصلاحی ژنومیک با استفاده از شش روش ارزیابی بهترین پیش‌بینی ناریب خطی ژنومیک (GBLUP)، ریدج رگرسیون (RRBLUP)، بیز A (BayesA)، بیز C π (BayesB)، بیز B (BayesC)، و بیز L (BayesL) در سه حالت توزیع تأثیر ژنی یکنواخت (Uniform)، نرمال (Normal)، و گاما (Gamma). نقاط سیاه داده‌های پرت را نشان می‌دهند.

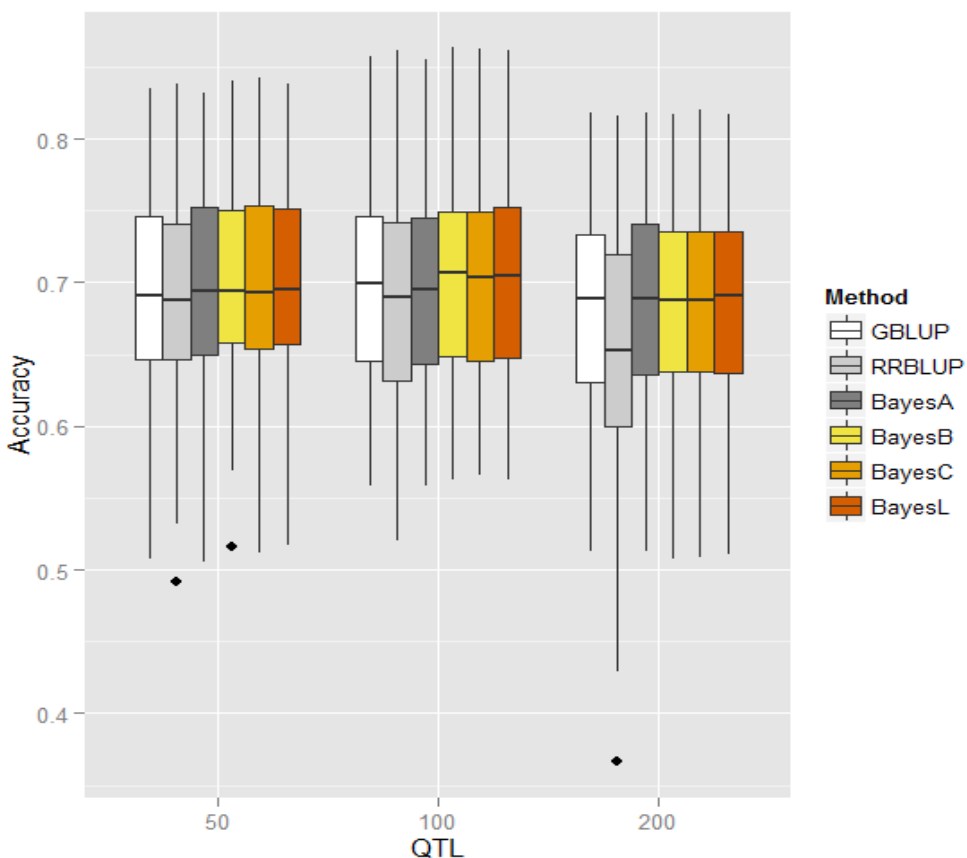
صفت، صحت برآوردها در روش‌های بیزی کاهش می‌باید، مطابقت دارد (۶). در تعداد کم QTL، یعنی ۵۰، برتری روش‌های بیزی در مقایسه با روش‌های غیربیزی کاملاً مشهود است و روش RRBLUP ضعیفترین عملکرد را داشته است، اما با افزایش تعداد QTL به سمت ۲۰۰ تفاوت بین شش روش آماری کاهش یافته است. نکته جالب این بود که صحت ارزش‌های اصلاحی در دو حالت تعداد QTL ۵۰ و ۱۰۰ برای سه روش جریمه‌ای (GBLUP، RRBLUP، BayesA) مشابه بود اما در روش‌های جریمه‌ای توأم با

نتایج حاصل از مقایسه روش‌های گوناگون آماری در مقابل تعداد متفاوت QTL ها در شکل ۳ نشان داده شده است. در تمام روش‌ها با افزایش تعداد QTL‌ها از ۱۰۰ به ۲۰۰ صحت ارزش‌های اصلاحی ژنومیک کاهش یافته است. دلیل این امر را می‌توان به توزیع مقدار محدودی واریانس ژنتیکی بر تعداد زیادی QTL دانست که در نتیجه سهم هر QTL در ارزش ژنتیکی کل کاهش یافته است و قدرت مدل‌ها در برآورد تأثیرات کم خواهد شد. این نتایج با دیگر یافته‌های گزارش شده که با افزایش تعداد ژن‌های مؤثر بر

تولیدات دائمی

افزایش یابد تفاوت معنی‌داری بین این دو روش وجود ندارد (۲۱). در مطالعه مذکور نیز ملاحظه شد که در تعداد کم QTL (۱۰ تا ۳۰) احتمال اینکه توزیع تأثیرات ژنی شکل بگیرد، بسیار پایین است. از این‌رو مقایسه نتایج مطالعه حاضر با این گزارش منطقی به‌نظر نمی‌رسد، چراکه صفاتی با معماری‌های ژنتیکی متفاوت در هر دو مطالعه، بررسی شده است. با استفاده از داده‌های واقعی تولید تخم مرغ و کیفیت تخم مرغ در مرغان تخم‌گذار نشان داده شد که تفاوت معنی‌داری بین روش‌های بیز A، بیز C π ، و GBLUP از نظر صحت و تداوم صحت ارزش‌های اصلاحی ژئومیک وجود ندارد (۲۶).

انتخاب متغیر (BayesB، BayesCp، BayesL) صحت ارزش‌های اصلاحی وقتی ۱۰۰ QTL صفت را کنترل می‌کرد بهتر از حالتی بود که ۵۰ QTL بیان صفت کنترل می‌کنند. برتری روش BayesA و BayesC π بر RRBLUP برای صفات مرتبط با بیماری‌ها در درختان کاج که با تعداد کمی ژن کنترل می‌شوند نیز گزارش شده است (۱۹). انتخاب بهترین روش ارزیابی ژئومیک به معماری ژنتیکی صفت، اندازه جمعیت مرجع، میزان رابطه خویشاوندی بین افراد جمعیت مرجع و تأیید بستگی دارد (۸). نشان داده شده است که روش بیز C π در مقایسه با روش GBLUP در تعداد کم QTL بهتر عمل می‌کند، اما وقتی تعداد



شکل ۳. صحت ارزش‌های اصلاحی ژئومیک با استفاده از شش روش ارزیابی بهترین پیش‌بینی ناریب خطی ژئومیک (GBLUP)، ریدج رگرسیون (RRBLUP)، بیز A (BayesA)، بیز B (BayesB)، بیز C π (BayesC π)، بیز L (BayesL) در سه حالت تعداد QTL (۵۰، ۱۰۰، و ۲۰۰). نقاط سیاه داده‌های پرت را نشان می‌دهند.

تولیدات دائمی

اریبی‌هایی مصون است و این تفاوت‌ها می‌تواند باعث متفاوت شدن نتایج مطالعات شبیه‌سازی در مقایسه با واقعیت شود.

باتوجه به نتایج، صحت پیش‌بینی ارزش‌های اصلاحی در انتخاب به کمک کل ژنوم به معماری ژنتیکی صفت مشخص نظیر توزیع تأثیر ژن‌ها و تعداد ژن‌ها بستگی دارد. درحالی‌که توزیع تأثیر ژنی به سمت ژن‌های بزرگ‌اثر یا کوچک‌اثر چولگی دارد، معمولاً روش‌های جریمه‌ای توأم با انتخاب متغیر (BayesL, BayesC π , BayesB) برتر از روش‌های فقط جریمه‌ای (GBLUP و RRBLUP) عمل می‌کنند. همچنین با زیاد شدن تعداد جایگاه‌های ژنی مؤثر پیش‌بینی ارزش‌های اصلاحی ژنومیک کاهش می‌یابد. از طرفی با مقایسه روش‌های گوناگون در پیش‌بینی ارزش‌های ژنتیکی، می‌توان اطلاعاتی درباره معماری ژنتیکی پشت صحنهٔ صفت بررسی شده به دست آورد.

منابع

1. Abdollahi-Arpanahi R, Pakdel A and Zandi-Baghchehmaryam MB (2012) From infinitesimal model to Genomic Selection. Modern Genetics. 17(2): 105-114 (in Persian).
2. Bostan A, Nejati Javaremi A, Moradi Shahr Babak M and Saatchi M (2012) Using the dense molecular markers near the specific trait major genes for genomic prediction. Iranian Journal of Animal Science. 44(1): 53-60. (in Persian)
3. Cole JB, VanRaden PM, O'Connell JR, Van Tassell CP, Sonstegard TS, Schnabel RD, Taylor JF and Wiggans GR (2009) Distribution and location of genetic effects for dairy traits. Dairy Science. 92(6): 2931-46.

روش‌های فراوانی‌گرا^۱ (RRBLUP و GBLUP) از نظر سرعت محاسبات و تخصیص حافظه کامپیوتری در مقایسه با روش‌های بیزی در حالتی که تراکم نشانگری در حد متوسط (۳۰۰۰ تا ۶۰۰۰) و تعداد مشاهدات فنوتیپی در جمعیت مرجع به اندازه کافی باشد (بیشتر از ۱۰۰۰ روش‌های مناسبی هستند. مطالعات در همین زمینه نشان داده است که وقتی تعداد QTL‌های مؤثر بر صفت زیاد باشد، روش GBLUP مشابه و یا حتی بهتر از روش‌های بیزی عمل می‌کند (۲۵ و ۳). با وجود این، به دلیل اینکه روش‌های بیزی از برخی خصوصیات نظیر "انتخاب متغیر" سود می‌برند، در تعداد اندک QTL برتر عمل می‌کنند. شایان ذکر است که می‌توان نه سناریوی توزیع تأثیر ژنی و تعداد QTL را به عنوان نه صفت متفاوت در نظر گرفت که دارای معماری ژنتیکی متفاوتی هستند. از این‌رو به نظر می‌رسد برای صفاتی با تعداد QTL زیاد، روش GBLUP، روشی مطمئن و بهینه برای استفاده در ارزیابی‌های ژنتیکی است.

از جمله محدودیت‌های این تحقیق می‌توان به محدود بودن صفات فرضی مطالعه شده با وراثت‌پذیری ۰/۳ و شبیه‌سازی فقط تأثیر افزایشی و در نظر نگرفتن تأثیر غیر افزایشی و نیز در نظر گرفتن تعداد QTL‌ها در دامنه ۵۰ تا ۲۰۰ روی ژنوم یک مورگانی اشاره کرد. مطالعات آینده قطعاً می‌توانند خلاصه موارد مذکور را پر کنند و به صورت جامع‌تری به مقایسه روش‌های ارزیابی ژنومیک بپردازند. از طرفی مطالعات ژنومیکی که از داده‌های واقعی استفاده می‌کنند، در معرض اریبی‌هایی مانند خطاهای ژنتیکی و نمونه‌گیری^۲ هستند، لیکن مطالعات شبیه‌سازی از چنین

-
1. Frequentist
 2. Ascertainment Bias

تولیدات دائمی

4. Colombani C, Legarra A, Fritz S, Guillaume F, Croiseau P, Ducrocq V and Robert-Granié C (2012) Application of Bayesian least absolute shrinkage and selection operator (LASSO) and BayesCp methods for genomic selection in French Holstein and Montbéliarde breeds. *Dairy Science*. 96: 575-591.
5. Daetwyler HD, Calus MP, Pong-Wong R, De Los Campos G and Hickey JM (2013) Genomic prediction in animals and plants: simulation of data, validation, reporting, and benchmarking. *Genetics*. 193: 347-65.
6. Daetwyler HD, Pong-Wong R, Villanueva B and Woolliams JA (2010) The impact of genetic architecture on genome-wide evaluation methods. *Genetics*. 185(3): 1021-31.
7. De los Campos G, Gianola D and Rosa GJM (2009) Reproducing kernel Hilbert spaces regression: A general framework for genetic evaluation. *Animal Science*. 87: 1883-1887.
8. De Los Campos G, Hickey JM, Pong-Wong R, Daetwyler HD and Calus MP (2013) Whole-genome regression and prediction methods applied to plant and animal breeding. *Genetics*. 193: 327-45.
9. De los Campos G and Perez PR (2012) BGLR: Bayesian Generalized Linear Regression. R Package. <http://bglr.r-forge.r-project.org/>
10. Gianola D, Fernando RL and Stella A (2006) Genomic-assisted prediction of genetic value with semiparametric procedures. *Genetics*. 173(3): 1761-76.
11. Habier D, Fernando RL and Dekkers JC (2007) The impact of genetic relationship information on genome-assisted breeding values. *Genetics*. 177(4): 2389-2397.
12. Habier D, Fernando RL, Kizilkaya K and Garrick DJ (2011) Extension of the Bayesian alphabet for genomic selection. *BMC Bioinformatics*. 12(1): 186.
13. Hayes BJ, Pryce J, Chamberlain AJ, Bowman PJ and Goddard ME (2010) Genetic architecture of complex traits and accuracy of genomic prediction: coat color, milk-fat percentage, and type in Holstein cattle as contrasting model traits. *PLOS Genetics*. 6(9): 1001139.
14. Hoerl AE and Kennard RW (1970) Ridge regression: Biased estimation for nonorthogonal problems. *Technometrics*. 12(1): 55-67.
15. Meuwissen TH, Hayes BJ and Goddard ME (2001) Prediction of total genetic value using genome-wide dense marker maps. *Genetics*. 157(4): 1819-1829.
16. Muir WM (2007) Comparison of genomic and traditional BLUP-estimated breeding value accuracy and selection response under alternative trait and genomic parameters. *Animal Breeding and Genetics*. 124: 342-355.
17. Nejati-Javaremi A, Smith C and Gibson JP (1997) Effect of total allelic relationship on accuracy of evaluation and response to selection. *Animal Science*. 7(5): 1738-1745.
18. Park T and Casella G (2008) The bayesian lasso. *American Statistical Association*. 103(482): 681-686.
19. Resende MFR, Muñoz P, Resende MD, Garrick DJ, Fernando RL, Davis JM, Jokela EJ, Martin TA, Peter GF and Kirst M (2012) Accuracy of

تولیدات دامی

- Genomic Selection Methods in a Standard Data Set of Loblolly Pine (*Pinus taeda* L.). *Genetics*. 190: 1503-1510.
20. Schaeffer LR (2006) Strategy for applying genome-wide selection in dairy cattle. *Journal of Animal Breeding and Genetics*. 123: 218-223.
21. Shirali M, Miraei-Ashtiani SR, Pakdel A, Haley C and Pong-Wong R (2012) Comparison between Bayesc and GBLUP in Estimating Genomic Breeding Values under Different QTL Variance Distributions, in Abstract from ICQG2012 - 4th International Conference on Quantitative Genetics, . Edinburgh, United Kingdom. 261-268.
22. Swami M (2010) Complex traits: Using genetic architecture to improve predictions. *Nature Review Genetics*. 11(11): 748.
23. Technow FR (2011) Package hypred: Simulation of Genomic Data in Applied Genetics. University of Hohenheim.
24. VanRaden PM (2008) Efficient Methods to Compute Genomic Predictions. *Dairy Science*. 91: 4414-4423.
25. Wimmer V, Lehermeier C, Albrecht T, Auinger H-J, Wang Y, Schön C-C (2013) Genome-Wide Prediction of Traits with Different Genetic Architecture Through Efficient Variable Selection. *Genetics*. 195: 573-587.
26. Wolc A, Arango J, Settar P, Fulton JE, O'Sullivan NP, Preisinger R, Habier D, Fernando R, Garrick DJ and Dekkers JC (2011) Persistence of accuracy of genomic estimated breeding values over generations in layer chickens. *Genetics Selection Evolution*. 43: 23.